

文章编号: 0258-7025(2005)01-0035-04

内腔倍频被被动调 Q Nd:YVO₄/KTP 激光 特性的研究

赵宏明, 赵圣之, 陈 磊, 杨克建*

(山东大学信息科学与工程学院, 山东 济南 250100)

摘要 实现了激光二极管(LD)抽运 Nd: YVO₄/KTP, GaAs 饱和吸收体被被动调 Q 绿激光运转。测量了 GaAs 不同厚度情况下的脉冲重复率、脉冲宽度、单脉冲能量及峰值功率随抽运功率的变化关系。在抽运功率 3.22 W 下, 300 μm 厚的 GaAs 获得了 381 kHz 的高重复率, 53.2 ns 的脉冲宽度, 0.18 μJ 的单脉冲能量。通过求解内腔倍频 GaAs 被动调 Q 工作原理的耦合波方程组, 所得的理论值与实验结果相符。

关键词 激光技术; GaAs; 被动调 Q ; Nd: YVO₄/KTP; 倍频

中图分类号 TN 248.1 文献标识码 A

Study of Intra-Cavity Frequency-Doubling of a Nd: YVO₄ Laser Passively Q -Switched with GaAs

ZHAO Hong-ming, ZHAO Sheng-zhi, CHEN Lei, YANG Ke-jian

(School of Information Science and Engineering, Shandong University, Ji'nan, Shandong 250100, China)

Abstract By using GaAs saturable absorber, the running of a diode-pumped Q -switched intra-cavity frequency-doubled Nd: YVO₄/KTP laser is realized. The dependences of pulse width, pulse repetition rate, pulse energy and peak power on pump power are measured with different thickness of GaAs. At 3.22 W of pump power, the laser Q -switched by 300 μm GaAs produces 53.2 ns pulses at a pulse repetition rate of 381 kHz. The pulse energy is 0.18 μJ. The rate equations of intra-cavity frequency-doubling laser Q -switched by GaAs are introduced to analyze the experimental results. The numerical calculations of the rate equations are consistent with the experimental results.

Key words laser technique; GaAs; passive Q -switched; Nd: YVO₄/KTP; frequency-doubling

1 引言

激光二极管(LD)抽运的全固化激光器, 以体积小、效率高等特点, 受到了人们的广泛关注^[1,2]。特别是经倍频获得绿光相干光源, 在激光通信、遥感探测、军事、医学等领域有着广泛的应用前景。激光二极管抽运、被被动调 Q 和内腔倍频是获得高重复率、高峰值功率绿激光的有效途径, 饱和吸收体调 Q 晶体常采用染料片, Cr⁴⁺: YAG 晶体, 半导体材料等。半导体材料的能带间隙和能级寿命可以利用先进的

金属有机化学气相沉淀以及分子束外延生长技术, 通过控制生长条件和生长环境加以调节, 使其吸收光谱覆盖从可见光到远红外整个区域。

自 1996 年 T. T. Kajava 等发现半导体材料 GaAs 具有被被动调 Q 的特性以来^[3], 人们先后研究了氙灯抽运 Nd: YAG^[4], LD 抽运的 Nd: YAG^[5,6] 和 Nd: YVO₄ 等晶体的被被动调 Q 特性^[7,8], 但 Nd: YVO₄/KTP, GaAs 内腔倍频的绿激光特性尚少见报道。本文从理论和实验两方面对激光二极管抽运 Nd: YVO₄ 晶体 GaAs 被被动调 Q 激光特性进行了研

收稿日期: 2004-01-28; 收到修改稿日期: 2004-04-07

基金项目: 山东省科技发展计划(013060102)和教育部博士点基金资助项目。

作者简介: 赵宏明(1979—), 男, 山东大学信息科学与工程学院硕士研究生, 主要从事激光及非线性光学的研究。E-mail: mingwellcome@eyou.com

* 通信联系人。E-mail: k. j. yang@sdu.edu.cn

究。测量了不同厚度 GaAs 情况下输出激光脉冲宽度、单脉冲能量及脉冲重复率随抽运功率的变化关系。求解内腔倍频 GaAs 调 Q 工作原理的耦合波方程组,所得的理论值与实验结果相符。

2 实 验

2.1 实验装置

实验装置如图 1 所示,采用了三镜折叠腔,抽运激光器是带光纤耦合的半导体激光器(FAP-I system Coherent Inc. USA)。腔镜 M_1 的曲率半径为 100 mm,镀 808 nm 的高透膜,1064 nm,532 nm 的高反膜。激光工作物质是 4 mm×4 mm×5 mm 摹杂浓度为 1.0% 的 Nd:YVO₄ 晶体,晶体一端镀 808 nm 增透膜,另一端镀 1064 nm 高透膜,实验中将其旋转 45°。折叠镜 M_3 兼作绿光输出镜,曲率半径为 100 mm。饱和吸收体 GaAs 片厚度为 300 μm 和 580 μm,表面镀 1064 nm 增透膜。KTP 晶体按 II 型相位匹配角切割(山东大学晶体所生长),尺寸为 3 mm×3 mm×7 mm,通光面均镀 1064 nm,532 nm 增透膜,其二次相位参数如表 1 所示(数据由山东大学晶体所提供)。Nd:YVO₄ 晶体和 KTP 晶体冷却系统均采用水循环和温控半导体致冷片。 M_2 为平面全反镜,表面镀 1064 nm,532 nm 高反膜。实验中用 LPE-1B 型功率计和 TED620B 示波器分别测量绿光功率和脉冲特性。

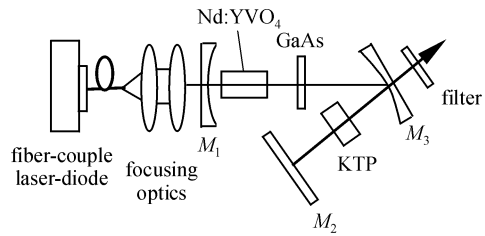


图 1 实验装置图

Fig. 1 The schematic of experimental setup

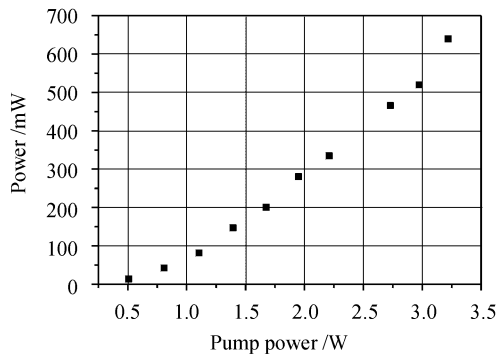


图 2 自由运转时输出绿光功率与抽运光功率的关系

Fig. 2 Dependence of the cw green output power on pump power

表 1 KTP 晶体的二次相位匹配参数

Table 1 Parameters of II-type phase-matching KTP crystal

n_o^ω	n_e^ω	$n_e^{2\omega}$	d_{eff}	ϵ_0
1.83	1.746	1.79	7.2 pm/V	8.855×10^{-12}

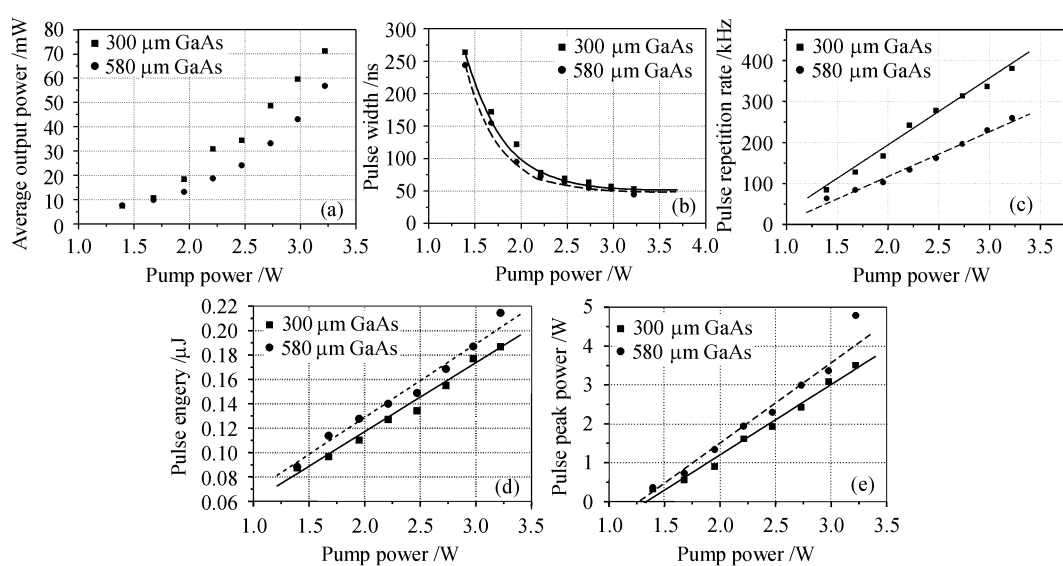


图 3 在不同厚度的 GaAs 片调 Q 下平均输出功率(a),脉冲宽度(b),脉冲重复率(c),单脉冲能量(d)及脉冲峰值功率(e)与抽运功率的关系

Fig. 3 Average output power (a), pulse width (b), pulse repetition rate (c), pulse energy (d) and pulse peak power (e) versus pumping power for different thickness GaAs

2.2 实验结果

在自由运转时, 测量了绿光激光的输出功率随着抽运功率的变化, 如图 2 所示, 当抽运功率增大, 输出绿光功率不断增加, 在最大抽运功率 3.22 W 下, 获得 640 mW 的连续绿光, 光-光转换效率达到 19.9%。分别选用 300 μm, 580 μm 不同厚度的饱和吸收体 GaAs 片放入腔内, 在不同抽运功率下测量了其平均输出功率、脉冲宽度、重复率、单脉冲能量和峰值功率的变化, 如图 3(a)~(e) 所示。图示表明随着抽运功率的升高, 输出的绿光平均功率增加, 脉冲宽度明显减少, 重复率不断升高, 单脉冲能量和峰值功率也随之增加。在 300 μm 厚的 GaAs 吸收体被动调 Q 下, 随着抽运功率从 1.4 W 到 3.22 W, 输出脉宽从 266 ns 降到 53.2 ns, 重复率从 88.9 kHz 增加到 381 kHz, 3.22 W 下获得的 53.2 ns 的脉冲波形如图 4 实线所示。图 5 为实验中观察到的脉冲串, 脉冲幅度起伏小于 4%。

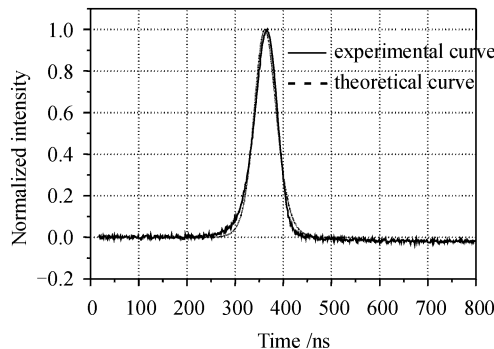


图 4 实验得到的 300 μm 厚 GaAs 调 Q 的脉冲波形与理论波形比较

Fig. 4 Comparison of the experimentally observed pulse profile of the 300 μm GaAs to theoretical predictions

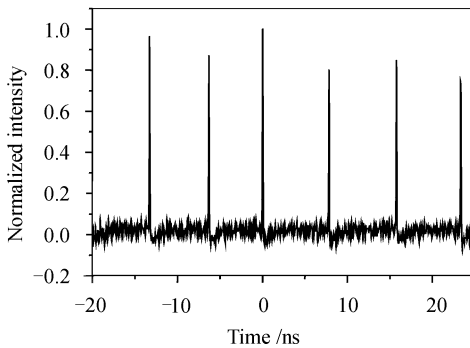


图 5 抽运功率 2 W 时, 厚度为 300 μm GaAs 所获得的脉冲串

Fig. 5 A pulse train of 300 μm GaAs Q-switching at 2 W of pump power

3 理论分析及讨论

考虑到 GaAs 的单光子吸收(SPA), 双光子吸收(TPA)及自由载流子吸收(FCA), 根据速率方程和倍频理论, 可以得到 Nd: YVO₄/KTP 的 GaAs 被动调 Q 速率方程^[9,10]

$$\frac{d\phi}{dt} = \frac{\phi}{t_r} [2\sigma nl - 2\sigma^+ n^+ d - 2\sigma^0 (n_0 + n^+) d - 2\sigma_f Nd - B\phi - \delta_N - L], \quad (1)$$

$$\text{其中 } \delta_N = \frac{P_{2\omega} t_r}{\hbar \omega \phi AL_c} = \frac{\omega^2 \cdot d_{\text{eff}}^2}{2c^3 \epsilon_0 n_e^2 n_o^2 n_e^w} \hbar \omega c l_k^2 \phi, \quad (2)$$

$$\frac{dn}{dt} = R_{in} - \frac{4\sigma n\phi}{h\nu} - \frac{n}{\tau}, \quad (3)$$

$$\frac{dn^+}{dt} = \frac{4[(n_0 - n^+)\sigma^0 - \sigma^+ n^+]\phi}{h\nu} - \gamma_{et} n^+ N + \gamma_{hd} (n_0 - n^+) p, \quad (4)$$

$$\frac{dN}{dt} = \frac{4[(n_0 - n^+)\sigma^0 + (B\phi/2)]\phi}{h\nu} - \gamma_{et} n^+ N - \gamma_{eh} N p, \quad (5)$$

$$\frac{dp}{dt} = \frac{4[\sigma^+ n^+ + (B\phi/2)]\phi}{h\nu} - \gamma_{hd} (n_0 - n^+) p - \gamma_{eh} N p, \quad (6)$$

其中 ϕ 为腔内光子数密度, R_{in} 为抽运速率, 可近似地表示为 $R_{in} = P_{in} [1 - \exp(-\alpha l)] / h\nu_p \pi \omega_p^2 l$ 。 t_r 为腔内的往返时间, $t_r = [2n_1 l + 2n_2 d + 2n_3 l_k + 2(L_c - l - d - l_k)] / c$, c 为真空中的光速。 τ 为激活介质的受激辐射寿命。 δ_N 为非线性损耗系数, ϵ_0 为介电常数, n_e^2, n_e^w, n_o^w 为谐波和基频波的折射率, $p_{2\omega}$ 为输出绿激光的功率。 n_1 为激光晶体的折射率, n_2 为 GaAs 的折射率, n_3 为 KTP 晶体的折射率。 l 为激活介质长度, d 为 GaAs 厚度, l_k 为 KTP 的厚度, L_c 为谐振腔光学长度。 n 为反转粒子数密度, n_0 为缺陷能级 EL2(包括 EL2⁰, EL2⁺) 上总的粒子数密度, n^+ 为带正电部分(EL2⁺) 的粒子数密度, N 为电子密度。 p 为空穴密度, σ 为激活介质的受激发射截面, σ^0, σ^+ 分别为 EL2⁰, EL2⁺ 的吸收截面, σ_f 为自由载流子的吸收截面。 L 为腔内损耗, $h\nu$ 为光子能量。 $\gamma_{et}, \gamma_{eh}, \gamma_{hd}$ 分别为 EL2⁺ 与电子, 电子空穴, EL2⁰ 与空穴的复合系数。 P_{in} 为抽运光功率, $h\nu_p$ 为抽运光的光子能量, ω_p 为抽运光在激活介质中的有效半径, α 为激活介质的吸收系数。 B 为 GaAs 中 TPA 的耦合系数, 其定义为^[5]: $B = 6\beta h\nu c (\omega_0 / \omega_q)^2 d$, 其中 β 为双光子的吸收系数, ω_0, ω_q 为光束在激活介质和 GaAs 中的光斑大小。GaAs 的小信号透过率可表示为: $T_0 = \exp\{-[\sigma^0 (n^0 - n^+) + \sigma^+ n^+] d\}$ 。对于 300 μm 和 580 μm 的

GaAs 片的小信号透过率分别为 96.8%, 93.8%。

利用速率方程(1)~(6), 及表 2 给出的数据, 通过计算机数值模拟, 可得到在抽运功率 3.22 W 下, 厚度为 300 μm GaAs 调 Q 脉冲脉宽为 51 ns, 重复率为 383 kHz, 脉冲波形如图 4 虚线所示, 可以看出理论和实验结果(图 4 实线)吻合得比较好。

表 2 方程组(1)~(6)对应的参数

Table 2 Related parameters for Eqs. (1)~(6)

	Parameter	Ref.
$n(t=0)$	$[2\sigma^0(n_0 - n^+)d + 2\sigma^+n^+d + L]/2\sigma d$	[9]
σ	$3.42 \times 10^{-18} \text{ cm}^2$	[11]
σ^0	$1.0 \times 10^{-16} \text{ cm}^2$	[9]
σ^+	$2.3 \times 10^{-17} \text{ cm}^2$	[9]
σ_f	$6 \times 10^{-18} \text{ cm}^2$	[9]
n_0	$1.2 \times 10^{16} \text{ cm}^{-3}$	[9]
n^+	$1.4 \times 10^{15} \text{ cm}^{-3}$	[9]
τ	98 μs	[11]
β	$2.6 \times 10^{-8} \text{ cm} \cdot \text{W}^{-1}$	[9]
γ_{et}	$1.9 \times 10^{-8} \text{ cm}^{-3} \cdot \text{s}^{-1}$	[9]
γ_{eh}	$2.0 \times 10^{-10} \text{ cm}^{-3} \cdot \text{s}^{-1}$	[9]
γ_{hd}	$3.4 \times 10^{-11} \text{ cm}^{-3} \cdot \text{s}^{-1}$	[9]
ω_0	252 μm	
ω_q	156 μm	
n_1	2.183	[11]
n_2	3.48	[9]
n_3	1.83	
l	0.5 cm	
l_k	0.7 cm	
L	0.12	
ω_p	0.25 mm	
α	5.32 cm^{-1}	[11]

对于不同的 P_{in} , 由方程(1)~(6)得到不同抽运功率、不同 GaAs 厚度条件下, 调 Q 脉冲宽度、重复率、单脉冲能量及脉冲峰值功率的数值解, 图 3(a)~(e) 中的实线和虚线分别为厚度为 300 μm , 580 μm GaAs 的理论曲线, 可以看到理论计算和实验结果基本相符。

由于腔内调 Q 插入损耗比较大, 包括饱和吸收体、热透镜效应、衍射损耗, 导致了实验光-光转换效率低, 所得的单脉冲能量和峰值功率比较低, 1% 基频光的损耗将导致 20% 的二次谐波的损耗^[11]。如果提高饱和吸收体的抛光程度, 并加以冷却, 转换效率、单脉冲能量和峰值功率还会有所提高。

实验中观察到厚 580 μm GaAs 片调 Q 输出脉冲的稳定度高于厚 300 μm GaAs 的, 由于调 Q 脉冲之间会产生互相扰动, 比较薄的 GaAs 片产生的重

复率高, 脉冲相互扰动的几率要明显大于较厚的 GaAs 片, 另外可饱和吸收体漂白重新恢复需要时间, 这期间外界随机变化会使激光介质的上能级反转粒子数不一致, 也会影响脉冲的稳定性。

4 结 论

利用不同厚度的 GaAs 实现了激光二极管端面抽运 Nd: YVO₄/KTP 激光器的三镜折叠腔的被动调 Q 运转。在抽运功率 3.22 W 下 300 μm 厚的 GaAs 得到了 381 kHz 的高重复率, 53.2 ns 的脉冲宽度, 脉冲能量为 0.18 μJ , 并将此实验结果与厚度为 580 μm 的 GaAs 作了比较。在理论方面给出了描述内腔倍频 GaAs 调 Q 工作原理的耦合波方程组, 所得的理论值与实验结果相符。

参 考 文 献

- D. L. Sipes. Highly efficient neodymium: yttrium aluminum garnet laser end-pumped by a semiconductor laser array [J]. *Appl. Phys. Lett.*, 1985, **47**: 74~76
- J. Berger, D. F. Welch, D. R. Scirer *et al.*. High power, high efficient neodymium: yttrium aluminum garnet laser end-pumped by a laser diode array [J]. *Appl. Phys. Lett.*, 1987, **51**(16): 1212~1214
- T. T. Kajava, A. L. Gaeta. Q switching of a diode-pumped Nd: YAG laser with GaAs [J]. *Opt. Lett.*, 1996, **21**(16): 1244~1246
- Li Ping, Wang Qingpu, Gao Da *et al.*. Study of passively Q-switched Nd: YAG laser with GaAs [J]. *Acta Optica Sinica*, 2000, **20**(6): 744~749
李平, 王青圃, 高达等. GaAs 被动调 Q Nd: YAG 激光器激光特性的研究[J]. 光学学报, 2000, 20(6): 744~749
- T. T. Kajava, Alexander L. Gaeta. Intra-cavity frequency-doubling of a Nd: YAG laser passively Q-switched with GaAs [J]. *Opt. Commun.*, 1997, **137**: 93~97
- Chen Weibiao, Nobuo Takeuchi. Diode pumped, Cr⁴⁺: YAG passively Q-switched Nd: YAG laser [J]. *Chinese J. Lasers*, 2002, **A29**(5): 385~388
陈卫标, Nobuo Takeuchi. LD 抽运的 Cr⁴⁺: YAG 被动调 Q Nd: YAG 激光器[J]. 中国激光, 2002, A29(5): 385~388
- Li Ping, Wang Qingpu, Zhang Xingyu *et al.*. Study of a diode-pumped Nd: YVO₄ laser passively Q-Switched with GaAs [J]. *Acta Optica Sinica*, 2002, **22**(3): 298~302
李平, 王青圃, 张行愚等. 激光二极管抽运的 Nd: YVO₄ GaAs 被动调 Q 激光器研究[J]. 光学学报, 2002, 22(3): 298~302
- Jiaan Zheng, Shengzhi Zhao, Qingpu Wang *et al.*. Influences of thermal effect on KTP type-II phase-matching second-harmonic generation [J]. *Opt. Commun.*, 2001, **199**: 207~214
- A. L. Smirl, G. C. Valley, K. M. Bohmert *et al.*. Picosecond photorefractive and free-carrier transient energy transfer in GaAs at 1 μm [J]. *IEEE J. Quantum Electron.*, 1988, **24**(2): 289~303
- Lei Chen, Shengzhi Zhao, Hongming Zhao. Passively Q-switching of a laser-diode-pumped intracavity-frequency-doubling Nd: NYW/KTP laser with GaAs saturable absorber [J]. *Optics and Laser Technology*, 2003, **35**: 563~567
- J. A. Zheng, S. Z. Zhao, L. Chen. Laser-diode end-pumped passively Q-switched intracavity doubling Nd: YVO₄/KTP laser with Cr⁴⁺: YAG saturable absorber [J]. *Opt. Eng.*, 2002, **41**(8): 1970~1975